

ОБ ОДНОЙ СИСТЕМЕ НЕЛИНЕЙНО-ДИСПЕРСИОННЫХ УРАВНЕНИЙ ГИДРОДИНАМИКИ С ПОЛЕЗНЫМ СВОЙСТВОМ*

З. И. ФЕДОТОВА

Институт вычислительных технологий СО РАН, Новосибирск, Россия

e-mail: zf@ict.nsc.ru

The paper is devoted to derivation and investigation of nonlinear dispersive equations of hydrodynamics, which admit the analogues of Riemann invariants in the case of a flat bottom.

Введение

В работе рассмотрена система уравнений из класса приближенных слабо нелинейных моделей гидродинамики, описывающих распространение длинных поверхностных волн на воде с учетом дисперсионных эффектов. Такие модели успешно применяются для решения задач гидродинамики длинных волн, когда применение полных трехмерных моделей сталкивается с необоснованно большими затратами вычислительных ресурсов.

В научной литературе о волнах на воде описано несколько разновидностей нелинейно-дисперсионных (НЛД) моделей. Большинство из них выведено из “базовой” модели, приведенной к нормированным переменным и содержащей два параметра: параметр нелинейности α и параметр дисперсии β (см., например, [1, 2]). В работах [1, 3, 4] выполнен сравнительный анализ и дана классификация этих моделей по свойствам, важным для моделирования задач волновой гидродинамики. Одной из причин разнообразия модельных уравнений является возможность выбора зависимых переменных. Например, под “скоростью” в НЛД-уравнениях можно понимать не только скорость воды на дне канала (как в “базовой” модели), но и скорость на свободной поверхности, или усредненную по глубине скорость, или скорость на некоторой высоте Y над основанием канала (что использовано в данной работе) и т.д. В результате можно добиться тех или иных свойств от системы НЛД-уравнений. Ранее [4, 5] мы обратили внимание на полезное свойство одной системы НЛД-уравнений, состоящее в возможности привести ее к переменным, аналогичным инвариантам Римана [6]. В работах [5, 7] изучена соответствующая одномерная модель и продемонстрирован ряд ее свойств. Ниже мы покажем ряд преимуществ этой модели перед другими из класса НЛД-моделей и приведем ее вывод для произвольного дна в двумерном случае.

*Работа выполнена при поддержке Российского фонда фундаментальных исследований (грант № 03-05-64108), Программы интеграционных исследований СО РАН (грант № 2003-5) и Программы поддержки ведущих научных школ РФ (грант № НШ-2314.2003.1).

© Институт вычислительных технологий Сибирского отделения Российской академии наук, 2004.

1. Вывод модели

Для вывода НЛД-модели с указанным свойством рассмотрим уравнения безвихревого течения несжимаемой жидкости со свободной поверхностью и жестким непроницаемым дном. Чтобы учесть длинноволновой характер течения и проследить за нелинейностью, используем, как обычно, разномасштабные характерные размеры в горизонтальном и вертикальном направлениях: l — длина, H_0 — глубина, η_0 — амплитуда возмущения поверхности воды и параметры $\beta = (H_0/l)^2$ (параметр дисперсии) и $\alpha = \eta_0/H_0$ (параметр нелинейности). Далее нормируем переменные с помощью следующей замены:

$$x'_i = lx \quad (i = 1, 2), \quad y' = H_0 y, \quad t' = \frac{lt}{c_0}, \quad \varphi' = \frac{gl\eta_0}{c_0} \varphi, \quad H' = H_0 H, \quad \eta' = \eta_0 \eta.$$

Здесь x_1, x_2 — пространственные координаты на горизонтальной плоскости; y — вертикальная координата; t — время; η — возвышение свободной поверхности над ее равновесным положением; H — глубина невозмущенной жидкости; φ — потенциал скорости жидкости; $c_0 = (gH_0)^{1/2}$, g — ускорение свободного падения. Штрихами помечены размерные переменные. Соответствующие уравнения гидродинамики в указанных безразмерных переменных можно записать в виде

$$\Delta\varphi + \frac{1}{\beta}\varphi_{yy} = 0, \quad -H(x_1, x_2) < y < \alpha\eta(x_1, x_2, t); \quad (1)$$

$$\nabla\varphi\nabla H + \frac{1}{\beta}\varphi_y = 0, \quad y = -H(x_1, x_2); \quad (2)$$

$$\eta_t + \alpha\nabla\varphi\nabla\eta - \frac{1}{\beta}\varphi_y = 0, \quad y = \alpha\eta(x_1, x_2, t); \quad (3)$$

$$\varphi_t + \frac{\alpha}{2}(\nabla\varphi)^2 + \frac{\alpha}{2\beta}\varphi_y^2 + y = 0, \quad y = \alpha\eta(x_1, x_2, t). \quad (4)$$

Здесь $\nabla = \left(\frac{\partial}{\partial x_1}, \frac{\partial}{\partial x_2}\right)$ и $\Delta = \nabla^2 = \frac{\partial^2}{\partial x_1^2} + \frac{\partial^2}{\partial x_2^2}$ — определенные в горизонтальной плоскости операторный вектор-градиент и оператор Лапласа соответственно.

Для получения НЛД-модели примем разложение потенциала по вертикальной координате [1, 8]: $\varphi = \phi(x_1, x_2, t) + \sum_{k=1}^{\infty} \phi_k(x_1, x_2, t)Y^k$, где ϕ, ϕ_k ($k = \overline{1, \infty}$) — функции, зависящие только от x_1, x_2 и t ; $Y = \alpha y + H(x_1, x_2)$. Подстановка суммы в уравнение (1) и граничные условия (2)–(4) приводят к рекуррентным соотношениям между этими функциями, что в результате позволяет перейти от бесконечного числа уравнений к системе двух уравнений бесконечного порядка для функций ϕ и η .

В целом указанная процедура весьма громоздка, поэтому мы приведем окончательные уравнения, в которых члены порядка $\mathcal{O}(\beta^2)$ отброшены:

$$\begin{aligned} & \eta_t + \nabla(h\nabla\phi) = \\ & = \beta \left(\nabla(h(\nabla H\nabla\phi)\nabla H) + \frac{1}{2}\nabla(h^2(\nabla(\nabla H\nabla\phi) + \Delta\phi\nabla H)) + \frac{1}{3}\nabla(h^3\nabla^3\phi) \right); \quad (5) \\ & \phi_t + \frac{1}{2}\alpha|\nabla\phi|^2 + \frac{1}{\alpha}(h - H) = \beta \left(\frac{1}{2}\alpha(\nabla H\nabla\phi)^2 + h(\nabla H(\nabla\phi)_t + \alpha\nabla\phi\nabla(\nabla h\nabla\phi)) + \right. \end{aligned}$$

$$+\frac{h^2}{2} \left((\Delta\phi)_t + \alpha \nabla\phi \nabla(\Delta\phi) - \alpha (\Delta\phi)^2 \right). \quad (6)$$

Эти уравнения называют “базовыми” НЛД-уравнениями мелкой воды (это уравнения мелкой воды второго приближения). По аналогии с классическими уравнениями мелкой воды первого приближения первое из этих уравнений будем называть уравнением неразрывности, второе — уравнением движения.

Уравнения (5), (6) являются основой для получения многих других описанных в литературе нелинейных уравнений с дисперсией. В частности, они содержат подкласс моделей Буссинеска, у которых параметры нелинейности и дисперсии имеют одинаковый порядок малости. В этом специальном случае исходная модель упрощается ввиду пренебрежения членами порядка $\mathcal{O}(\alpha\beta, \alpha^2)$ и принимает вид

$$\eta_t + \nabla(h\nabla\phi) = \frac{1}{3}\beta\nabla^3(H^3\nabla\phi); \quad (7)$$

$$\phi_t + \frac{1}{2}\alpha|\nabla\phi|^2 + \frac{1}{\alpha}(h-H) = \frac{1}{2}\beta\nabla(H^2\nabla\phi)_t. \quad (8)$$

Здесь $h = \alpha\eta + H$ — полная глубина жидкости. Преобразуя эти уравнения, удастся получить ряд НЛД-систем с улучшенными свойствами [1, 3, 4]. Например, применив к уравнению (6) оператор ∇ и заменив в системе (5)–(6) производные ϕ_{x_1} и ϕ_{x_2} переменными w_1, w_2 , которые можно трактовать как компоненты “скорости” (на самом деле, это и есть скорость течения на дне канала), получим отличную от (5)–(6) систему НЛД-уравнений. В свою очередь, скорость $\mathbf{w} = \nabla\phi$ может быть заменена некоторой другой “скоростью”, в частности скоростью на высоте Y над основанием канала. Если рассмотреть в качестве “скорости течения” в приближенной модели истинную скорость течения \mathbf{u} на глубине $Y = \sqrt{2/3}H$:

$$\mathbf{u} = \nabla\phi - \beta\gamma\nabla(H\nabla H\nabla\phi) - \beta\frac{\gamma^2}{2}\nabla(H^2\Delta\phi) + \mathcal{O}(\beta^2),$$

где $\gamma^2 = 2/3$, то после надлежащих преобразований членов порядка $\mathcal{O}(\beta)$ и приведения полученных уравнений по $\text{mod}(\beta^2)$ получим уравнения

$$\begin{aligned} \frac{\partial}{\partial t}\eta + \nabla\left(h\mathbf{u} + \frac{\beta}{3}R[\mathbf{u}]\right) &= \frac{\beta}{6}\frac{\partial}{\partial t}\nabla\Phi[\eta], \\ \frac{\partial}{\partial t}\mathbf{u} + \alpha(\mathbf{u}\cdot\nabla)\mathbf{u} + \nabla\eta &= \frac{\beta}{6}\frac{\partial}{\partial t}\nabla\Psi[\mathbf{u}], \end{aligned} \quad (9)$$

где

$$\begin{aligned} R[\mathbf{u}] &= -kH^2((\mathbf{u}\cdot\nabla)\nabla H + (\nabla H \times \nabla)\mathbf{u}^\perp) - H\nabla H(\nabla H \cdot \mathbf{u}), \\ \Phi[\eta] &= \nabla(H^2\eta) - (k+1)\nabla(H^2)\eta, \\ \Psi[\mathbf{u}] &= \nabla(H^2\mathbf{u}) + k\nabla(H^2)\cdot\mathbf{u}, \quad k = 2 - \sqrt{6}. \end{aligned}$$

В случае ровного дна $H(x_1, x_2) \equiv H_0$ модель (9) принимает компактный вид:

$$\begin{aligned} \frac{\partial}{\partial t}\eta + \nabla(h\mathbf{u}) &= \frac{\beta}{6}H_0^2\frac{\partial}{\partial t}\Delta\eta, \\ \frac{\partial}{\partial t}\mathbf{u} + \alpha(\mathbf{u}\cdot\nabla)\mathbf{u} + \nabla\eta &= \frac{\beta}{6}H_0^2\frac{\partial}{\partial t}\nabla(\nabla\mathbf{u}). \end{aligned} \quad (10)$$

Если воспользоваться предположением о потенциальности исходного течения, то на основе равенства $u_{x_2} - v_{x_1} = \mathcal{O}(\beta^2)$ (u, v — компоненты скорости) в уравнениях движения можно сделать замену правой части на выражение $\beta \frac{H_0^2}{6} \frac{\partial}{\partial t} \Delta \mathbf{u}$, что делает уравнения более привлекательными с точки зрения конструирования вычислительных алгоритмов. Стандартная процедура линейного дисперсионного анализа исследуемой модели приводит к дисперсионному соотношению и выражениям для мод ($\mathbf{k} = (k_1, k_2)$ — волновой вектор):

$$\omega^2 = \frac{H_0 |\mathbf{k}|^2}{(1 + \beta H_0^2 |\mathbf{k}|/6)^2}, \quad \omega = \pm \frac{H_0^{1/2} |\mathbf{k}|}{1 + \beta H_0^2 |\mathbf{k}|/6}.$$

Таким образом, система уравнений (10) имеет две моды, которым соответствуют уравнения конечного порядка со смешанной производной третьего порядка. Нетрудно видеть, что фазовая и групповая скорости при $|\mathbf{k}| \rightarrow \infty$ стремятся к нулю, откуда следует несущественность высокочастотных гармоник (свойство, полезное при численной реализации алгоритмов). Другие свойства будут рассмотрены ниже.

2. Численные эксперименты

Как следует из вида дисперсионного соотношения, полученные уравнения замечательны тем, что в линейном одномерном случае возможна замена переменных, при которой система уравнений распадается на два независимых уравнения, каждое из которых содержит только одну независимую функцию. В определенном смысле эту замену можно трактовать как переход к инвариантам Римана [6]. Из общего вида уравнений в случае ровного дна следует, что если такую систему уравнений записать в матричном виде, то матрица с дисперсионными членами будет диагональной. Это позволяет в полной мере использовать методику исследования целого класса разностных схем, разработанную для гиперболической системы уравнений мелкой воды, технически основанную на возможности изучения одного скалярного уравнения.

В одномерном случае уравнения (9) имеют вид

$$\begin{aligned} \eta_t + ((h + \beta/3\tilde{R})u)_x &= \beta/6 (\Phi[\eta])_{xt}, \\ u_t + \alpha uu_x + \eta_x &= \beta/6 (\Psi[u])_{xt}, \\ \Phi[\eta] &= (H^2 \eta)_x - (k + 1) (H^2)_x \eta, \\ \Psi[u] &= (H^2 u)_x + k (H^2)_x u, \\ R[u] &= \tilde{R}u, \quad \tilde{R} = -H (kHH_{xx} + (H_x)^2), \quad k = 2 - \sqrt{6}. \end{aligned}$$

Отметим, что R зависит только от формы дна, т. е. это известная функция. Правая часть уравнения неразрывности не зависит от u , а правая часть уравнения движения не зависит от η . Чтобы введенная скорость имела физический смысл, следует потребовать выполнения неравенства $\sqrt{2/3}H \leq h$. По существу, это есть ограничение на величину амплитуды волн понижения. Напомним, что модель (9) получена при условии, что α и β имеют один и тот же порядок малости, т. е. уже при выводе модели заложено ограничение на размах амплитуды. Указанная модель рассмотрена в [4], где, в частности, приведена вариационная формулировка и выписаны законы сохранения импульса и энергии.

Рассмотрим некоторые свойства построенной модели в сравнении с аналогичными моделями. Для построения численного алгоритма вводится замена, такая, что исходную систему уравнений можно представить в виде

$$\begin{aligned} \eta - \frac{\beta}{6} (\Phi[\eta])_x &= \Theta, & u - \frac{\beta}{6} (\Psi[u])_x &= U, \\ \Theta_t + \left((h + \beta \tilde{R}) u \right)_x &= 0, & U_t + \eta_x + \frac{1}{2} \alpha (u^2)_x &= 0. \end{aligned} \quad (11)$$

Пусть Δt и Δx — шаги сетки в направлении осей по времени t и пространству соответственно. Введем ряд обозначений. Пусть E — тождественный оператор, T — оператор сдвига: $T_{\pm j} \psi(x, t) = \psi(x \pm j \Delta x, t)$; $T^{\pm n} \psi(x, t) = \psi(x, t \pm n \Delta t)$. Используя комбинации этих операторов, введем следующие разностные операторы: $\Delta_1 = T_1 - E$, $\Delta_{-1} = E - T_{-1}$, $\Delta^1 = T^1 - E$, $\mu = (T_1 + T_{-1})/2$. Сеточную функцию с n -го слоя по времени будем обозначать ψ_j^n : $\psi_j^n = \psi^n(j \Delta x)$. Уравнения системы (11) аппроксимируем следующим образом:

$$\begin{aligned} \eta_j^{n+1} - \beta \frac{\Delta_1}{\Delta x^2} [\Delta_{-1}(H_j^2 \eta_j^{n+1}) - (k+1) \mu \eta_j^{n+1} \Delta_{-1} H_j^2] &= \Theta_j^{n+1}, \\ u_j^{n+1} - \beta \frac{\Delta_1}{\Delta x^2} [\Delta_{-1}(H_j^2 u_j^{n+1}) + k \mu u_j^{n+1} \Delta_{-1} H_j^2] &= U_j^{n+1}, \\ \frac{\Delta^1 \Theta_j^n}{\Delta t} + \frac{\Delta_1 + \Delta_{-1}}{2 \Delta x} [(\alpha(\eta_j^{n+1} + \eta_j^n)/2 + H_j + \beta/3 \tilde{R}_j) u_j^n] &= 0, \\ \frac{\Delta^1 U_j^n}{\Delta t} + \frac{\Delta_1 + \Delta_{-1}}{2 \Delta x} [\eta_j^{n+1} + \alpha u_j^{n2}/2] &= 0, \\ \tilde{R}_j &= -\frac{H_j}{\Delta x^2} [k H_j \Delta_1 \Delta_{-1} H_j + ((\Delta_1 + \Delta_{-1}) H_j)^2/4]. \end{aligned}$$

Эта схема подробно исследована в работе автора [5]. Она имеет второй порядок аппроксимации и условно устойчива, однако ограничение на шаг по времени менее строго, чем для соответствующей разностной схемы без дисперсионных членов.

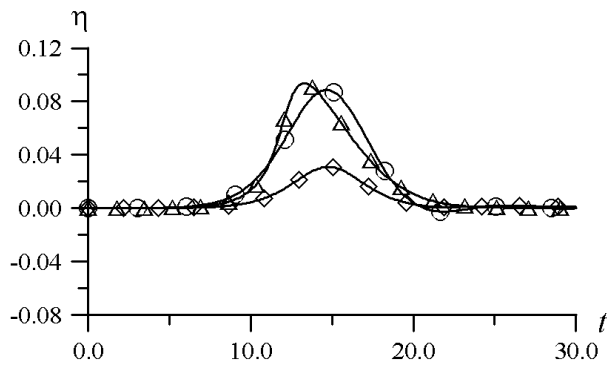
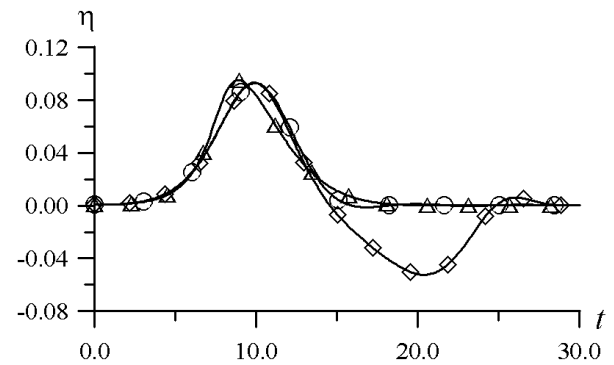
Как правило, тестирование НЛД-моделей начинается с проверки, насколько точно они передают движение по ровному дну $H(x) = H_0$ уединенной волны

$$\eta = \eta_0 \operatorname{sech}^2[(3\eta_0)^{1/2}/(2H_0(H_0 + \eta_0)^{1/2})(x - x_0 - Ct)], \quad C = [g(H_0 + \eta_0)]^{1/2}. \quad (12)$$

Предложенная модель, как и все модели типа Буссинеска, в отличие от полных НЛД-моделей [8], не допускает точного решения (12). Если взять начальное возмущение жидкости в виде (12), то в численном решении при $t > 0$ происходит сброс осциллирующего хвоста и формируется солитонообразная волна, соответствующая конкретной модели.

Существенным преимуществом предложенной модели является возможность простой конструкции граничных условий, обеспечивающих выход волны за границу области без отражения, — свойство, присущее гиперболическим уравнениям.

Рассмотрим задачу: при $t = 0$ на отрезке $[0, 30]$ задается возвышение свободной поверхности в виде (12) для $\eta_0 = 0.2$, $H_0 = 1$, $x_0 = 15$, $g = 1$ с нулевой скоростью. Границы полагаются открытыми. В точках $x = 0$ (левая граница) и $x = 5$ установлены виртуальные мареографы, фиксирующие высоту проходящей волны. При $t > 0$ волна распадается на две, идущие в противоположных направлениях. Вершина волны достигает границ за

Рис. 1. Выход волны из области ($x = 0$).Рис. 2. Поведение вблизи границы ($x = 5$).

$t = 15$. На границах заданы “мягкие условия” простейшего вида: $\eta_0^n = \eta_1^n$, $u_0^n = u_1^n$, $\eta_N^n = \eta_{N-1}^n$, $u_N^n = u_{N-1}^n$; $0, \dots, N$ — номера узлов сетки.

На рис. 1, 2 показаны мареограммы решений, рассчитанных по одноступенчатым разностным схемам для ряда моделей: “треугольниками” отмечено решение гиперболических уравнений мелкой воды (по описанной выше разностной схеме с $\beta = 0$), кривые с “кружками” и “ромбиками” получены соответственно по предложенной модели и известной модели Перегринна [8, 9]. На рис. 1 показана форма выходящей за пределы области волны. Видно, что в последнем случае возникает существенная по амплитуде отраженная волна, тогда как для первых двух моделей граница оказывается “прозрачной”. На рис. 2 видно, что до взаимодействия с границей решения, полученные по НЛД-моделям, близки.

Мы рассмотрели и другие известные НЛД-модели типа моделей Буссинеска. Все они показали примерно тот же результат, что и модель Перегринна. Используя простейшие граничные условия (выпуск волны за пределы области и пересчет линии уреза с помощью экстраполяции), мы попытались применить НЛД-модели для расчета наката волны на берег. Работающий алгоритм удалось получить только в случае описанной здесь модели именно благодаря свойству правильно выпускать волну за пределы области.

Список литературы

- [1] УИЗЕМ ДЖ. Линейные и нелинейные волны. М.: Мир, 1977.
- [2] FEDOTOVA Z.I., KAREPOVA E.D. Variational principle for approximate models of wave hydrodynamics // Russ. J. Numer. Anal. Math. Modelling. 1996. Vol. 11, N 3. P. 183–204.
- [3] МАРЧУК А. Г., ЧУБАРОВ Л. Б., ШОКИН Ю. И. Численное моделирование волн цунами. Новосибирск: Наука, 1983.
- [4] FEDOTOVA Z.I., PASHKOVA V.YU. On the numerical modelling of the dynamics of weakly nonlinear waves with dispersion // Russ. J. Numer. Anal. Math. Modelling. 1995. Vol. 10, N 5. P. 407–424.
- [5] FEDOTOVA Z.I., PASHKOVA V.YU. Methods of construction and the analysis of difference schemes for nonlinear dispersive models of wave hydrodynamics // Russ. J. Numer. Anal. Math. Modelling. 1997. Vol. 12, N 2. P. 127–149.

- [6] РОЖДЕСТВЕНСКИЙ Б.Л., ЯНЕНКО Н.Н. Системы квазилинейных уравнений и их приложения к газовой динамике. Второе доп. издание. М.: Наука, 1968.
- [7] СНУВАРОВ L.B., ФЕДОТОВА Z.I., ШОКИН YU.I., ЕИНАРССОН B.G. Comparative analysis of nonlinear dispersive models of shallow water // Intern. J. of Computational Fluid Dynamics. 2000. Vol. 14, N 1. P. 55–73.
- [8] ВОЛЬЦИНГЕР Н.Е., КЛЕВАННЫЙ К.А., ПЕЛИНОВСКИЙ Е.Н. Длинноволновая динамика прибрежной зоны. Л.: Гидрометеоиздат, 1989.
- [9] PEREGRINE D. Long Waves on a Beach // J. Fluid Mech. 1967. Vol. 27. P. 815–827.

Поступила в редакцию 10 сентября 2004 г.